

ANEXO

Fig. 4 - DETERMINACION DE LA DUCTILIDAD GLOBAL μ DE LA ESTRUCTURA

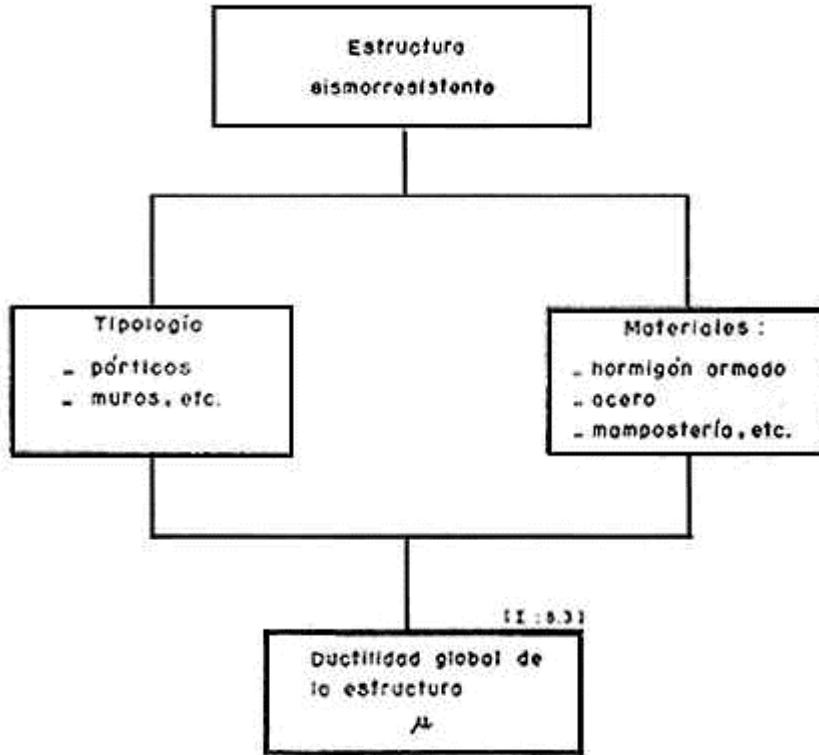


Fig. 5 - DISTRIBUCION EN ALTURA DEL ESFUERZO DE CORTE EN LA BASE DEL EDIFICIO

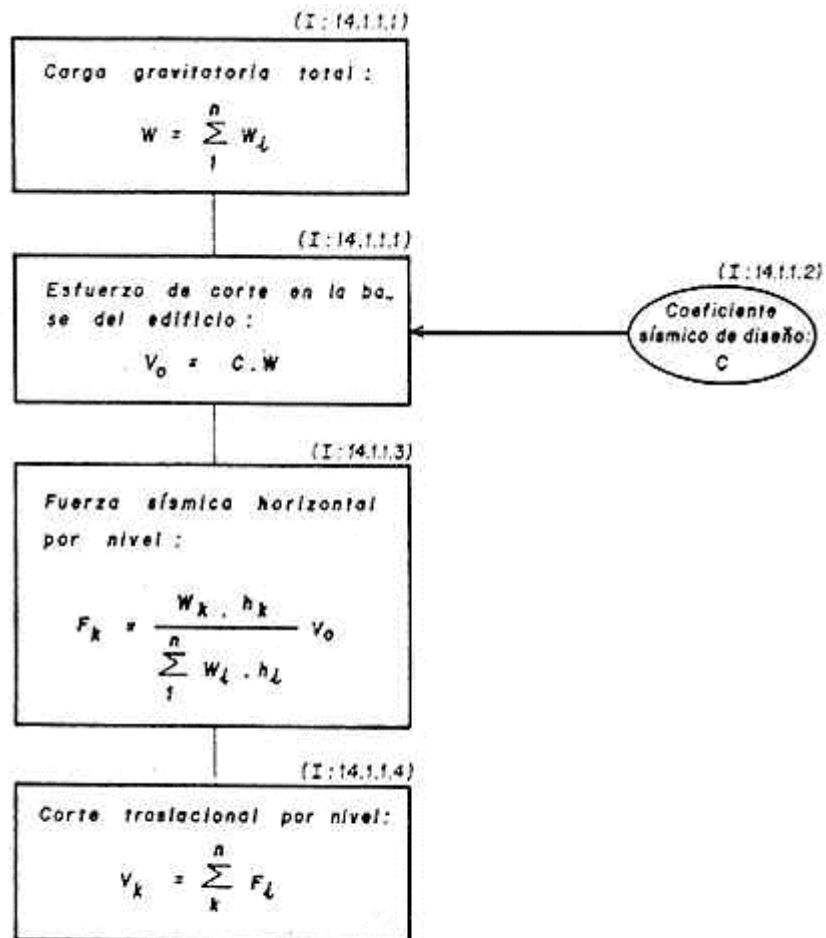
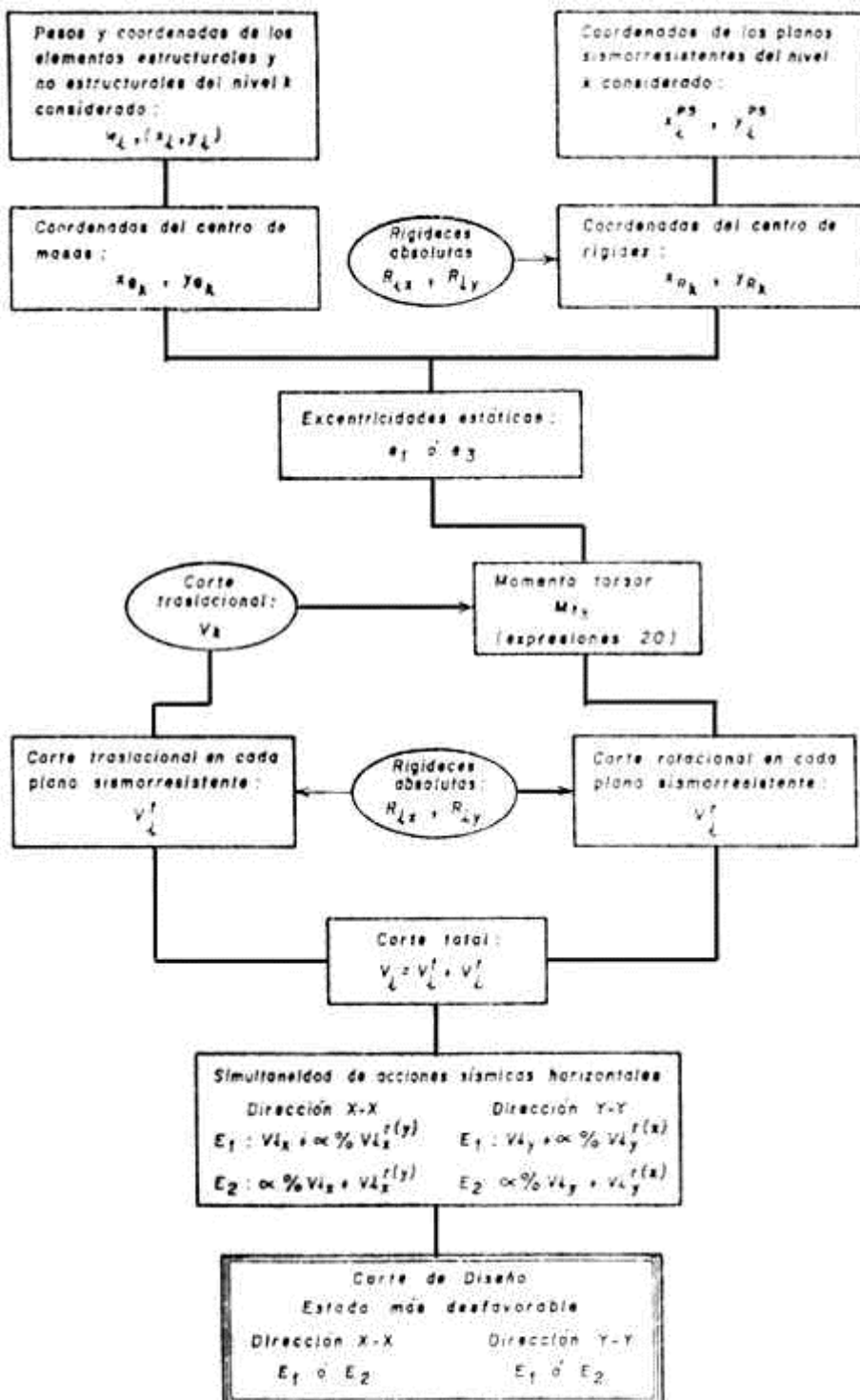
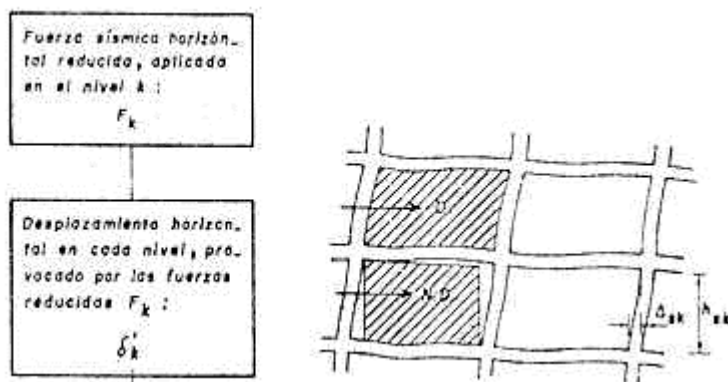


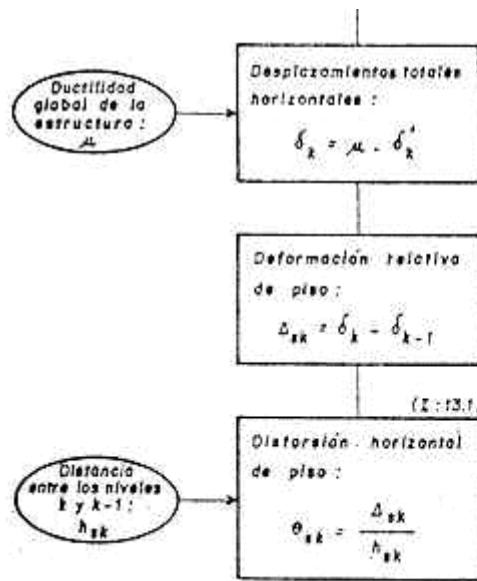
Fig. 6 - DETERMINACION DEL CORTE DE DISEÑO EN CADA UNO DE LOS PLANOS SISMORRESISTENTES QUE CONFORMAN LA ESTRUCTURA DEL EDIFICIO



NOTA: $V_{Lx}^{r(y)}$ es el corte rotacional según la dirección X-Y originado por la acción sísmica actuando en la dirección Y-Y $V_{Ly}^{r(x)}$ debe interpretarse con criterio análogo

Fig. 7 - PROCEDIMIENTO PARA EL CONTROL DE LA DISTORSION DE PISO





Condición D.: muro integrado a la estructura
 Condición N.D.: muro separado de la estructura

Valores límite de la distorsión horizontal θ_{sk} de piso:
 (I:13.1, Tabla 8)

Condición	Grupo de la construcción		
	A ₀	A	B
D.	0,010	0,011	0,014
N.D.	0,010	0,015	0,019

NOTA: SI $\theta_{sk} > \theta_{sk \text{ límite}}$ resulta necesario redimensionar la estructura